

DICERORHINUS MIGUELCRUSAFONTI NOV. SP.,
UNE NOUVELLE ESPÈCE DE RHINOCÉROS
(MAMMALIA, PERISSODACTYLA)
DU GISEMENT PLIOCÈNE SUPÉRIEUR DE LAYNA
(SORIA, ESPAGNE) ET DE LA FORMATION PLIOCÈNE
DE PERPIGNAN (PYRÉNÉES-ORIENTALES, FRANCE)

par

Claude GUERIN * et José-Vicente SANTAFE-LLOPIS **

RÉSUMÉ

Plus de 90 restes osseux et dentaires de rhinocéros ont été recueillis dans le gisement pliocène supérieur de Layna. Ils correspondent à un animal de stature moyenne, aux os trapus, bien différent à la fois des grands *D. megarhinus* du Pliocène et *D. jeanvireti* du Villafranchien inférieur, et du petit et gracieux *D. etruscus etruscus* du Villafranchien. Il s'agit d'une espèce nouvelle rapportée au genre *Dicerorhinus*: *D. miguelcrusafonti* nov. sp. Cette espèce se retrouve dans le Pliocène supérieur de la formation de Perpignan, où elle coexiste avec *D. megarhinus*.

ABSTRACT

More than 90 remains of rhinoceroses bones and teeth have been recovered from the Layna Pliocene deposit. They correspond to a middle sized animal with stout bones and is quite different from both the large sized Pliocene *D. megarhinus*, the lower Villafranchian *D. jeanvireti* and the slim small Villafranchian *D. etruscus*. Its a new species belonging to the *Dicerorhinus* genus: *D. miguelcrusafonti* nov. sp. This species is also found in the Perpignan Pliocene formation, together with *D. megarhinus*.

RESUMEN

Se han obtenido 90 restos óseos y piezas dentarias de rinoceronte del yacimiento del Plioceno superior de Layna. Se trata de un animal robusto de estatura media, completamente distinto de *D. megarhinus* del Plioceno y de *D. jeanvireti* del Villafranchiense inferior, ambos de gran talla, y

del pequeño y grácil *D. etruscus etruscus* también Villafranchiense. Se trataría de una especie nueva de *Dicerorhinus*: *D. miguelcrusafonti* que se encuentra también en el Plioceno superior de la formación de Perpignan, en donde coexiste con *D. megarhinus*.

MOTS-CLÉS : NOUVEAU, CERATOMORPHA (DICERORHINUS), PLIOCÈNE, MACHOIRE, DENTS, ANATOMIE SQUELETTE, BIOMÉTRIE, CASTILLA LA VIEJA (SORIA : LAYNA), PYRÉNÉES ORIENTALES (PERPIGNAN).

KEY WORDS : NEW DESCRIPTION, CERATOMORPHA (DICERORHINUS), PLIOCENE, JAW, TEETH, SKELETON, BIOMETRICS, CASTILLA LA VIEJA (SORIA : LAYNA), PYRÉNÉES ORIENTALES (PERPIGNAN).

* Laboratoire de Paléontologie stratigraphique et Paléoécologie associé au C.N.R.S. n° 11, Département des Sciences de la Terre, Université Lyon I-Claude-Bernard, 69621 Villeurbanne, France.

** Instituto Provincial de Paleontología, Sabadell, Espagne.

PLANCHE 1

Dicerorhinus miguelcrusafonti nov. sp.

- A – D¹ et D² gauches, vue occlusale, Musée de Madrid
- B – D¹ et D² gauches, vue occluso-interne, Musée de Madrid
- C – D¹ et D² gauches, vue labiale, Musée de Madrid
- D – M² gauche n° IPS La 15626, vue occlusale, Musée de Sabadell
- E – M¹ droite n° IPS La 15627, vue occlusale, Musée de Madrid
- F – P³ droite, vue labiale, Musée de Madrid
- G – P³ droite, vue occlusale, Musée de Madrid
- H – P³ droite, vue linguale, Musée de Madrid

Dicerorhinus miguelcrusafonti nov. sp.

- A – Left D¹ and D², occlusal view, Madrid Museum
- B – Left D¹ and D², occluso-internal view, Madrid Museum
- C – Left D¹ and D², labial view, Madrid Museum
- D – Left M² IPS La 15626, occlusal view, Sabadell Museum
- E – Right M¹, IPS La 15627, occlusal view, Sabadell Museum
- F – Right P³, labial view, Madrid Museum
- G – Right P³, occlusal view, Madrid Museum
- H – Right P³, lingual view, Madrid Museum

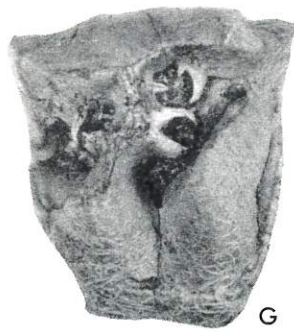
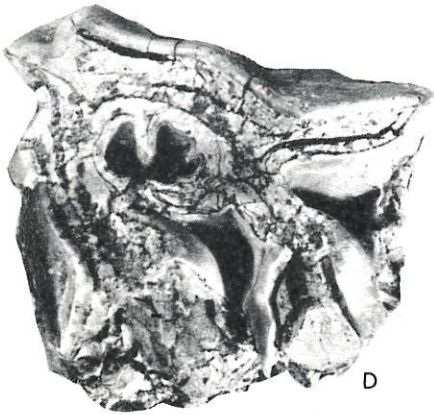
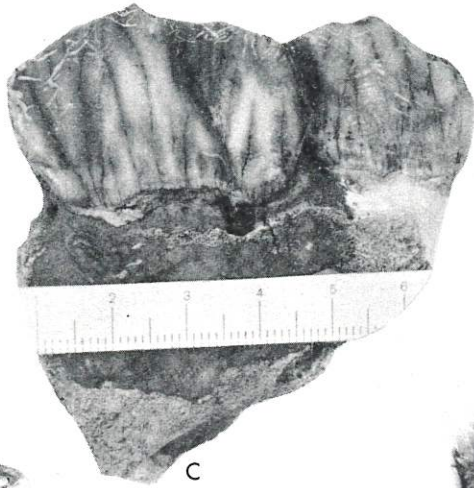
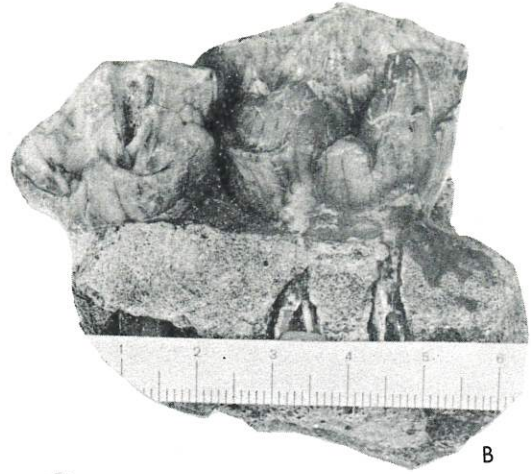


PLANCHE 2

Dicerorhinus miguelcrusafonti nov. sp.

- A — Demi mandibule gauche n^o IPS La 15631, vue latérale (Holotype).
B — Demi mandibule gauche n^o IPS La 15631, vue médiale (Holotype).

Dicerorhinus miguelcrusafonti nov. sp.

- A — Left mandibular ramus, IPS La 15631, lateral view (Holotype).
B — Left mandibular ramus, IPS La 15631, medial view (Holotype).



PLANCHE 3

Dicerorhinus miguelcrusafonti nov. sp.

- A — Demi mandibule gauche n° IPS La 15631, Holotype, vue occlusale
- B — P₂ droite n° IPS La 15635, vue occlusale
- C — M₂ droite n° La 15642, vue occlusale
- D — M₃ droite n° IPS La 15624, vue occlusale
- E — Scaphoïde gauche n° IPS La 15641, face antérieure

Dicerorhinus miguelcrusafonti nov. sp.

- A — Left mandibular ramus, IPS La 15631, Holotype, occlusal view
- B — Right P₂, IPS La 15635, occlusal view
- C — Right M₂, IPS La 15642, occlusal view
- D — Right M₃, IPS La 15624, occlusal view
- E — Left scaphoid, IPS, La 15641, anterior view

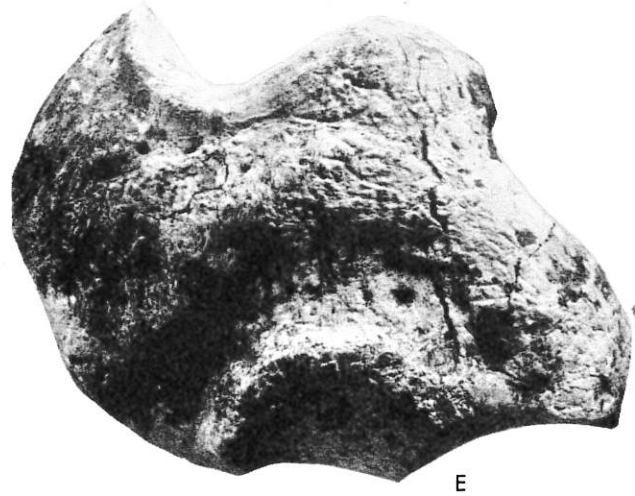
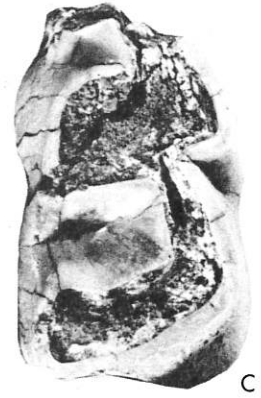
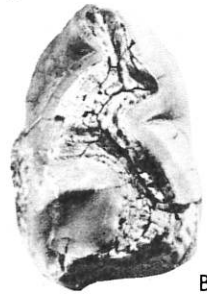
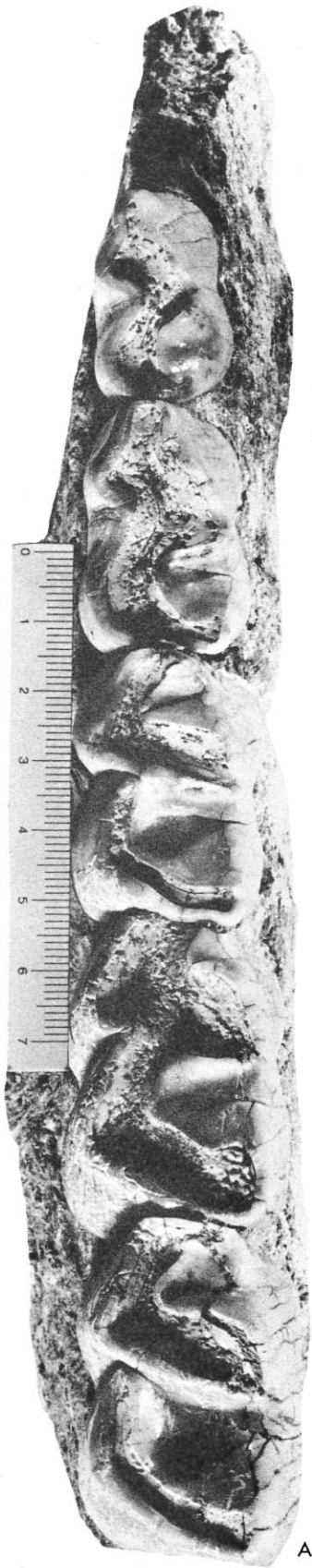


PLANCHE 4

Dicerorhinus miguelcrusafonti nov. sp.

- A – Mc III gauche, n^o IPS La 15602, vue antérieure
- B – Pyramidal gauche, n^o IPS La 15628, vue postéro-interne
- C – Mt III gauche, n^o IPS La 15614, vue antérieure
- D – Cuboïde gauche, n^o IPS La 15637, vue proximale
- E – naviculaire droit, n^o IPS La 15639, vue distale
- F – grand cunéiforme gauche, n^o IPS La 15643, vue proximale

Dicerorhinus miguelcrusafonti nov. sp.

- A – Left Mc III, IPS La 15602, anterior view
- B – Left pyramidal, IPS La 15628, postero- internal view
- C – Left Mt III, IPS La 15614, anterior view
- D – Left cuboid, IPS La 15637, proximal view
- E – Right navicular, IPS La 15639, distal view
- F – Left big cuneiforme, IPS La 15643, proximal view

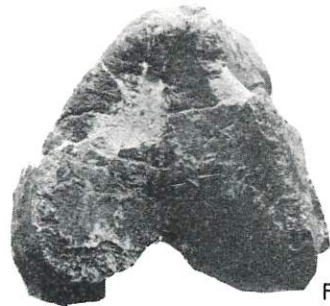
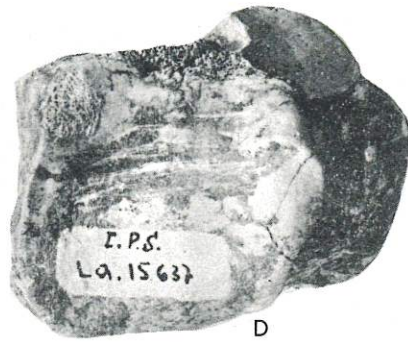


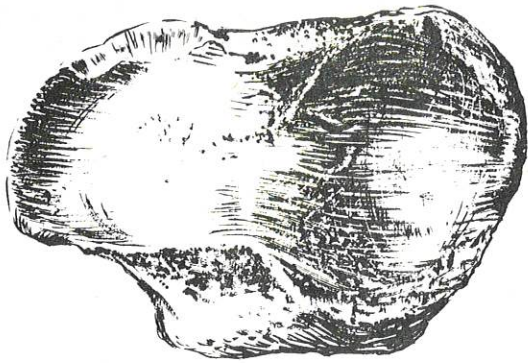
PLANCHE 5

Dicerorhinus miguelcrusafonti nov. sp.

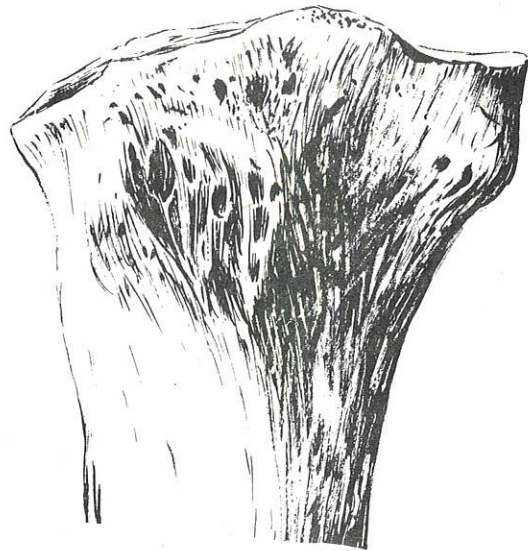
- A — Radius droit n° FSL 40931, vue proximale
- B — Radius droit n° FSL 40931, vue proximo-antérieure
- C — Mc III gauche n° FSL 40923, vue proximale
- D — Mc IV gauche n° FSL 40925, vue proximo-médiale
- E — Mc III gauche n° FSL 40923, vue proximo-latérale
- F — Mc II droit n° FSL 41006, vue proximale
- G — Mt II droit n° FSL 41287, vue proximale

Dicerorhinus miguelcrusafonti nov. sp.

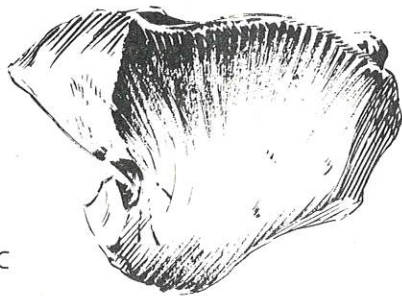
- A — Right radius FSL 40931, proximal view
- B — Right radius FSL 40931, anterior view of the proximal epiphysis
- C — Left Mc III FSL 40923, proximal view
- D — Left Mc IV FSL 40925, medial view of the proximal epiphysis
- E — Left Mc III FSL 40923, lateral view of the proximal epiphysis
- F — Right Mc II FSL 41006, proximal view
- G — Left Mt II FSL 41287, proximal view



A



B



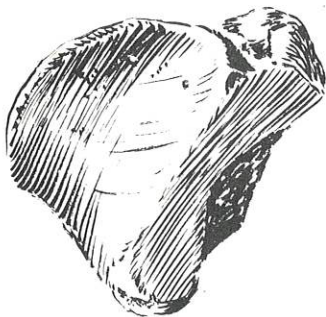
C



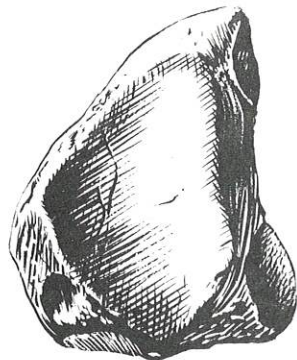
D



E



F



G

